

重力波の重力レンズでの 波動効果

高橋龍一（国立天文台PD）

目次

0. Abstract

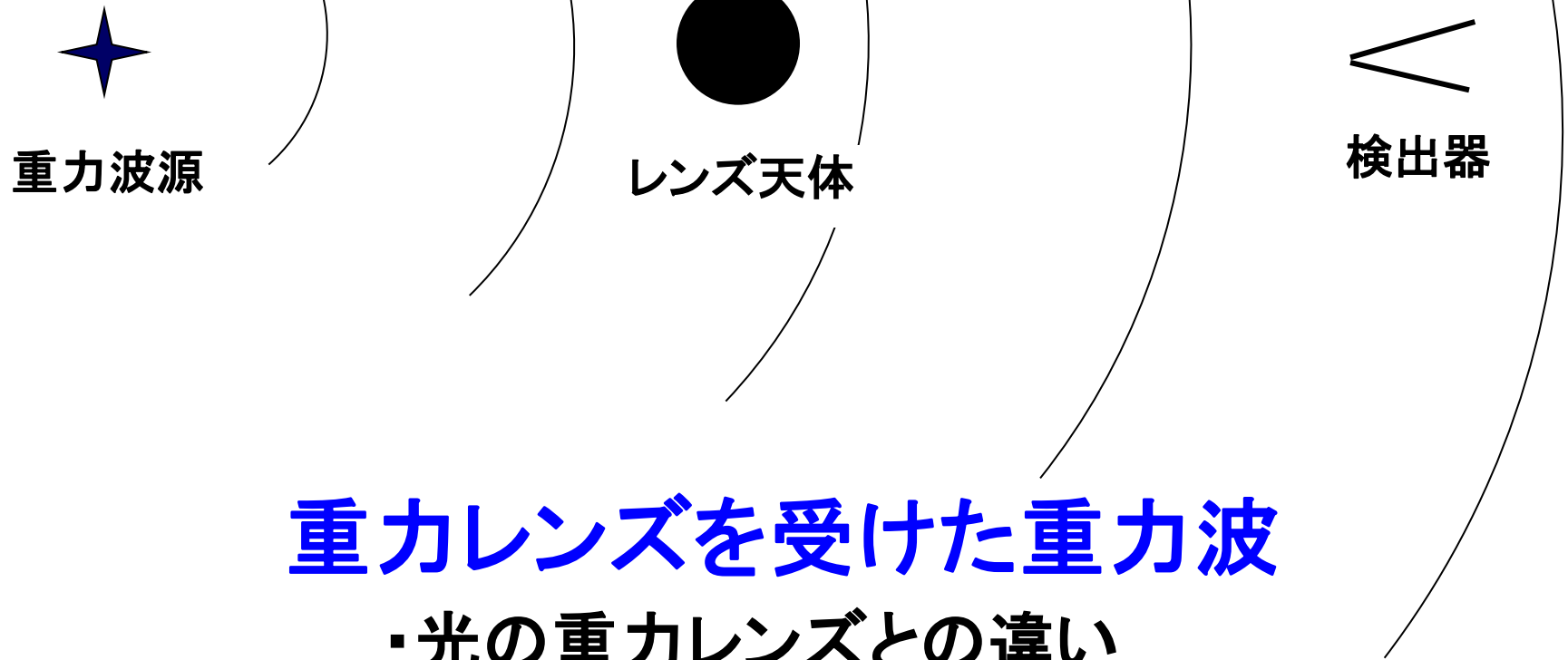
1. Introduction

2. 基礎方程式

3. 最近の研究

4. 議論とまとめ

0. Abstract



重力レンズを受けた重力波

- ・光の重力レンズとの違い
- ・波動効果
- ・重力波の波形への影響 など

目次

0. Abstract

1. Introduction

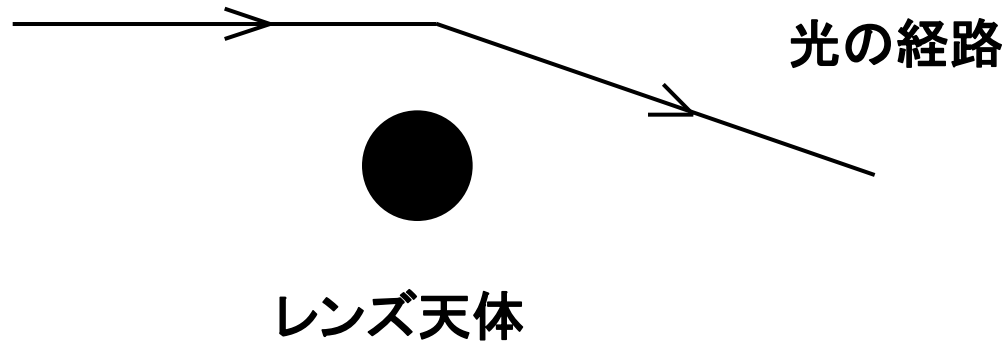
2. 基礎方程式

3. 最近の研究

4. 議論とまとめ

1. Introduction

● 重力レンズ



光の重力レンズは通常、
幾何光学近似を用いて記述される

光の波長 \ll レンズ天体のサイズ

●重力レンズの波動効果

(Schneider, Ehlers & Falco 1992; T.T. Nakamura & Deguchi 1999)

重力波の波長

$\approx 10^3$ km for 地上のレーザー干渉計

例:TAMA検出器@国立天文台

≈ 1 AU for スペースのレーザー干渉計LISA (~2014)

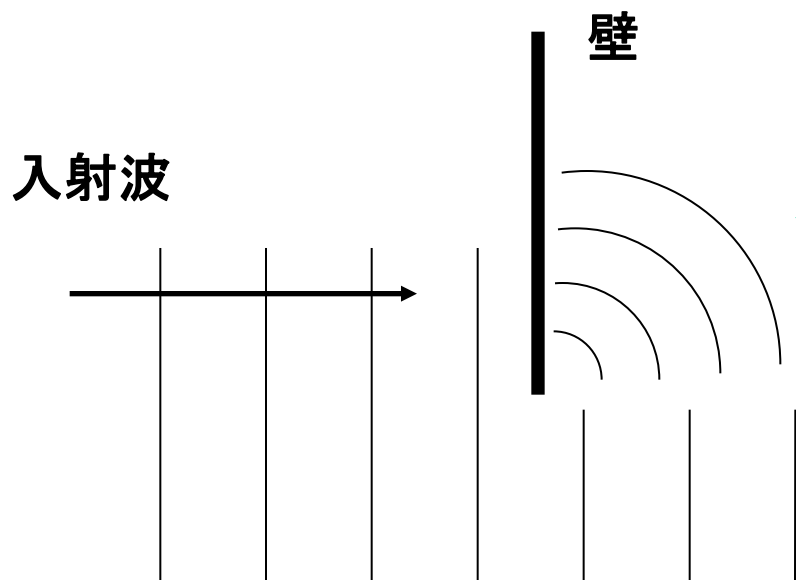


光の波長(例:可視光 $\approx 1\mu\text{m}$)に比べずっと長い

波の性質(回折と干渉)が現れやすいと期待される

1.1 回折

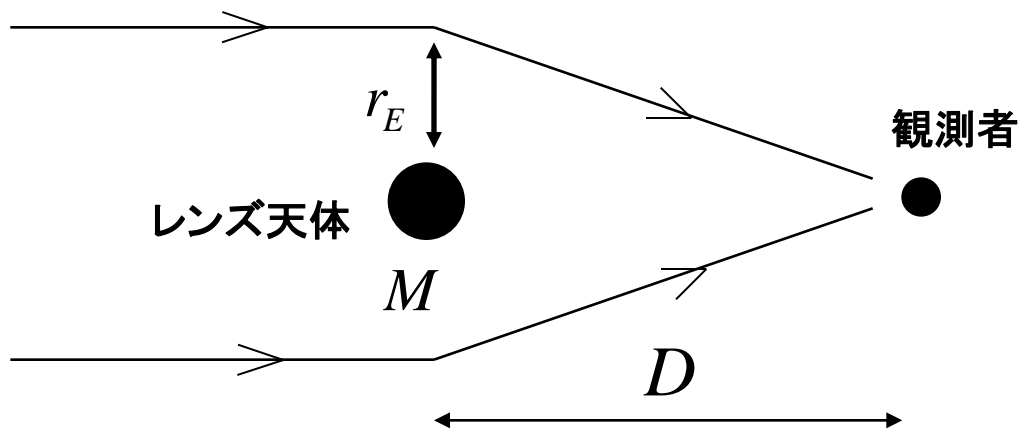
回折効果



波が壁の後ろにまわりこむ現象
波長が長いほうが現れやすい

(理化学辞典より)

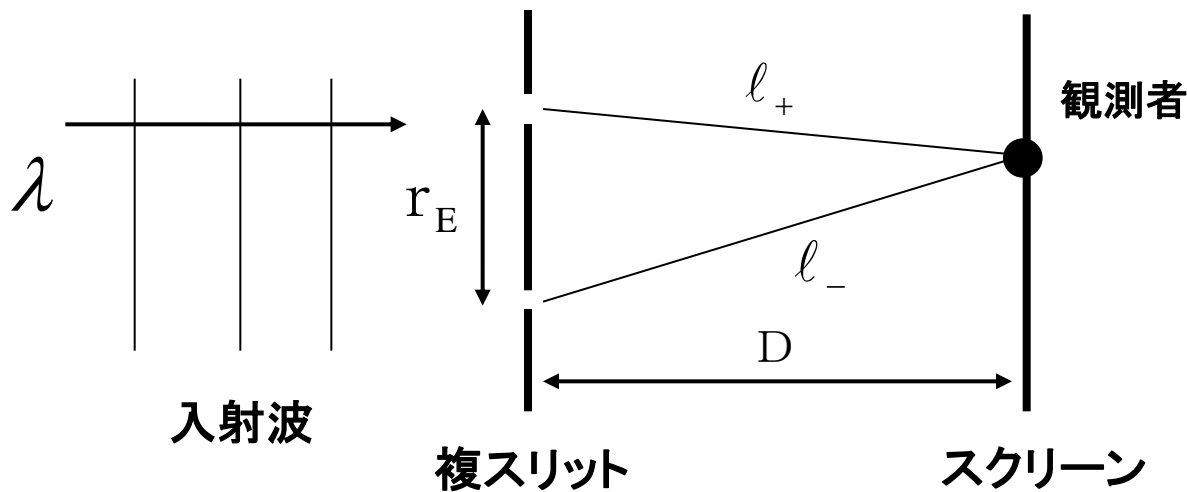
● 複スリット (T.T. Nakamura 1998)



Einstein 半径

$$r_E \approx (MD)^{1/2}$$

($c = G = 1$)



行路差

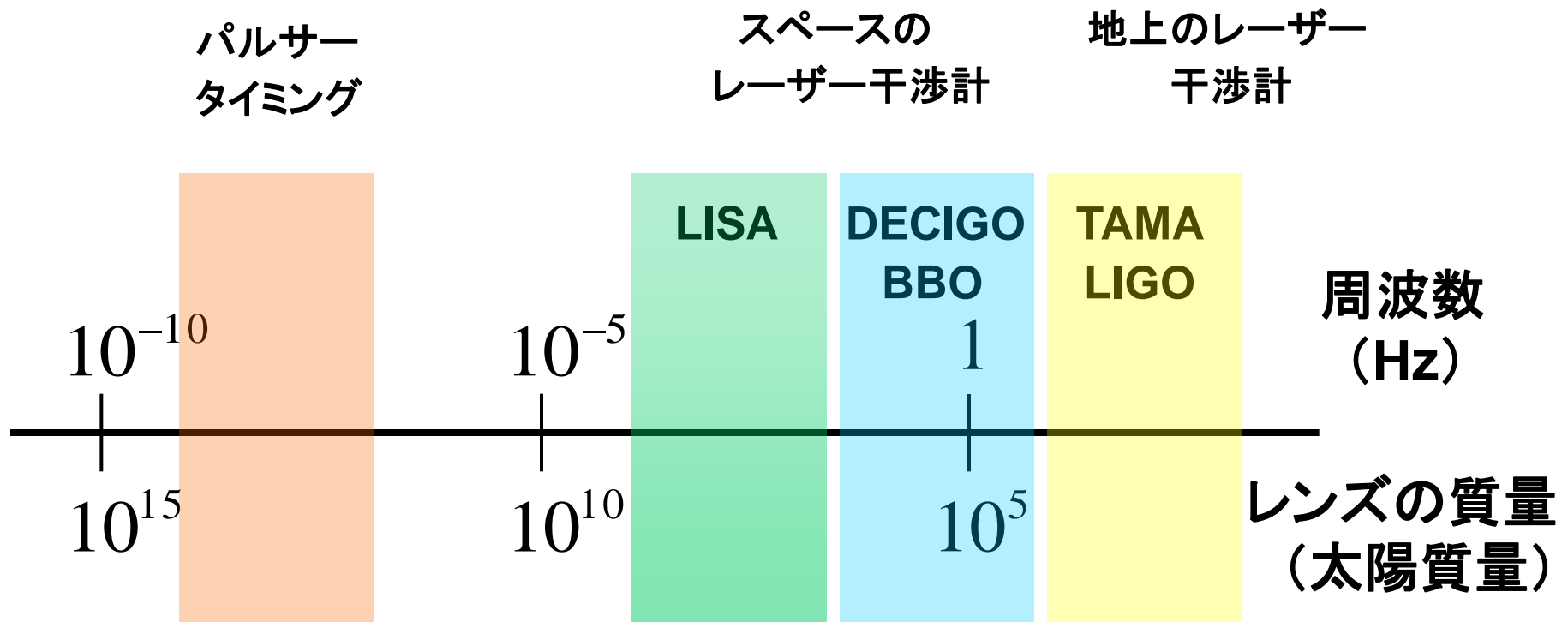
$$\Delta l = |l_+ - l_-| \approx M$$

➡ $\lambda > M$ → 波動効果 (回折)

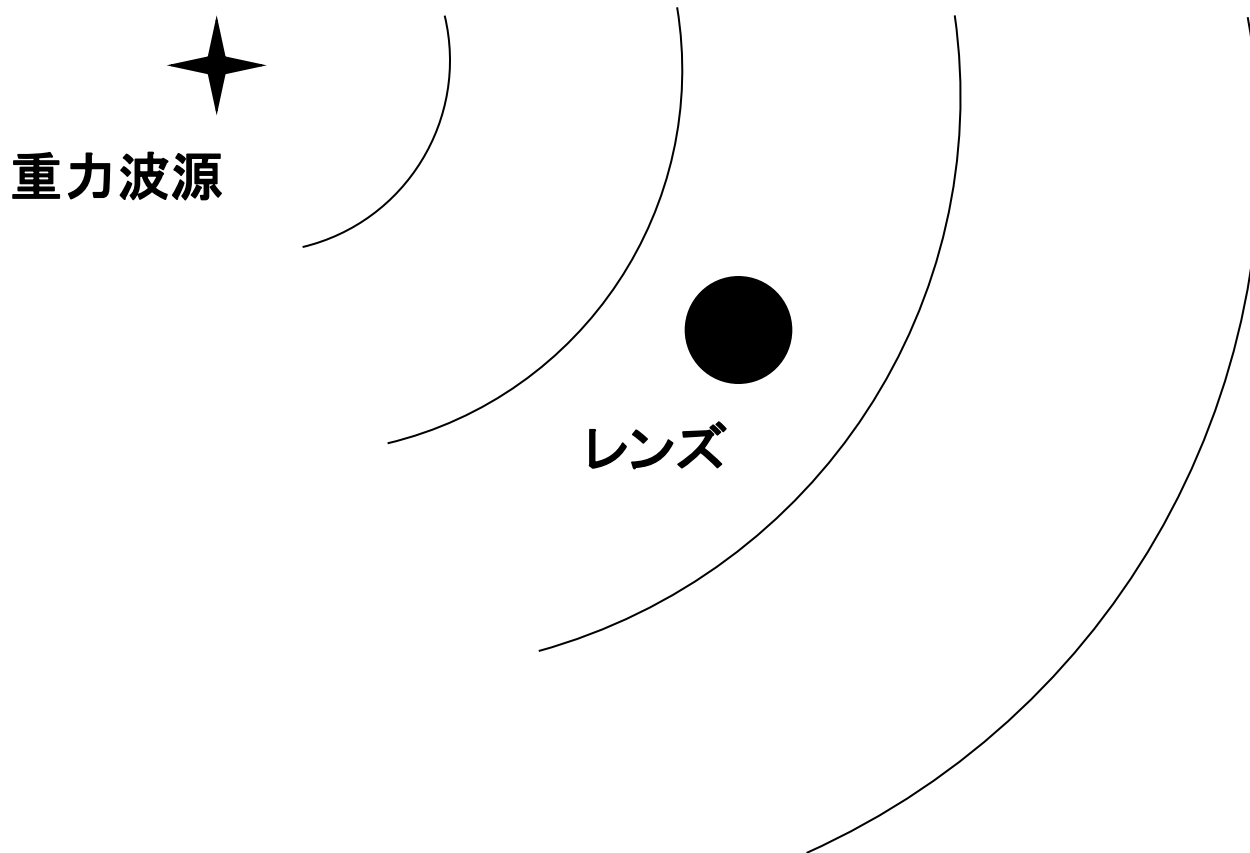
波長がレンズ天体のサイズ(シュワルツシルト半径)より長くなると回折効果が現れる

$$M < 10^5 M_{sun} (f / \text{Hz})^{-1}$$

M : レンズの質量
 f : 重力波の周波数



●波長が長い極限 $\lambda \gg M$

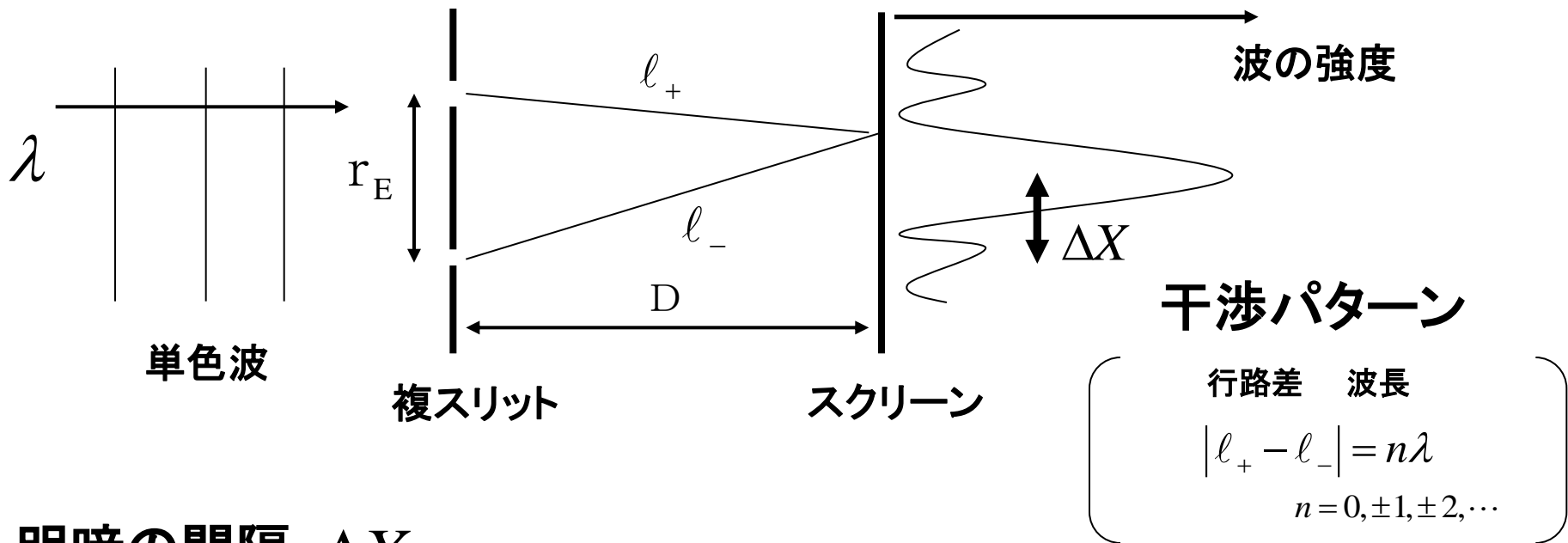


重力波はレンズ天体の存在を感じずに伝播する

2.2 干渉効果

重力波: コヒーレントな波 \longrightarrow 干渉

$$r_E \approx (MD)^{1/2}$$



明暗の間隔 ΔX

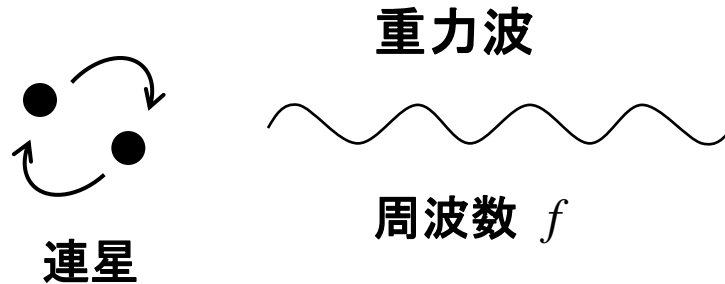
$$\Delta X \approx \frac{D}{r_E} \lambda$$

$$\approx 0.1 \text{ AU} \left(\frac{M}{10^6 M_{\text{sun}}} \right)^{-1/2} \left(\frac{D}{10 \text{ kpc}} \right)^{1/2} \left(\frac{f}{\text{kHz}} \right)^{-1}$$

(Ruffa 1999)

●チャープシグナル

連星(中性子星、BHなど): 最も有望な重力波源



重力波放出で運動エネルギーが減少



軌道半径が小さくなり、公転周期も短くなる



重力波の周波数が増える $df/dt > 0$

重力レンズの周波数依存性が受かる

●チャープシグナルでの干渉パターン

行路差 $\Delta l = |l_+ - l_-|$

波長 λ

$\Delta l = n\lambda$ 明

$= (n + 1/2)\lambda$ 暗

$n = 0, \pm 1, \pm 2, \dots$

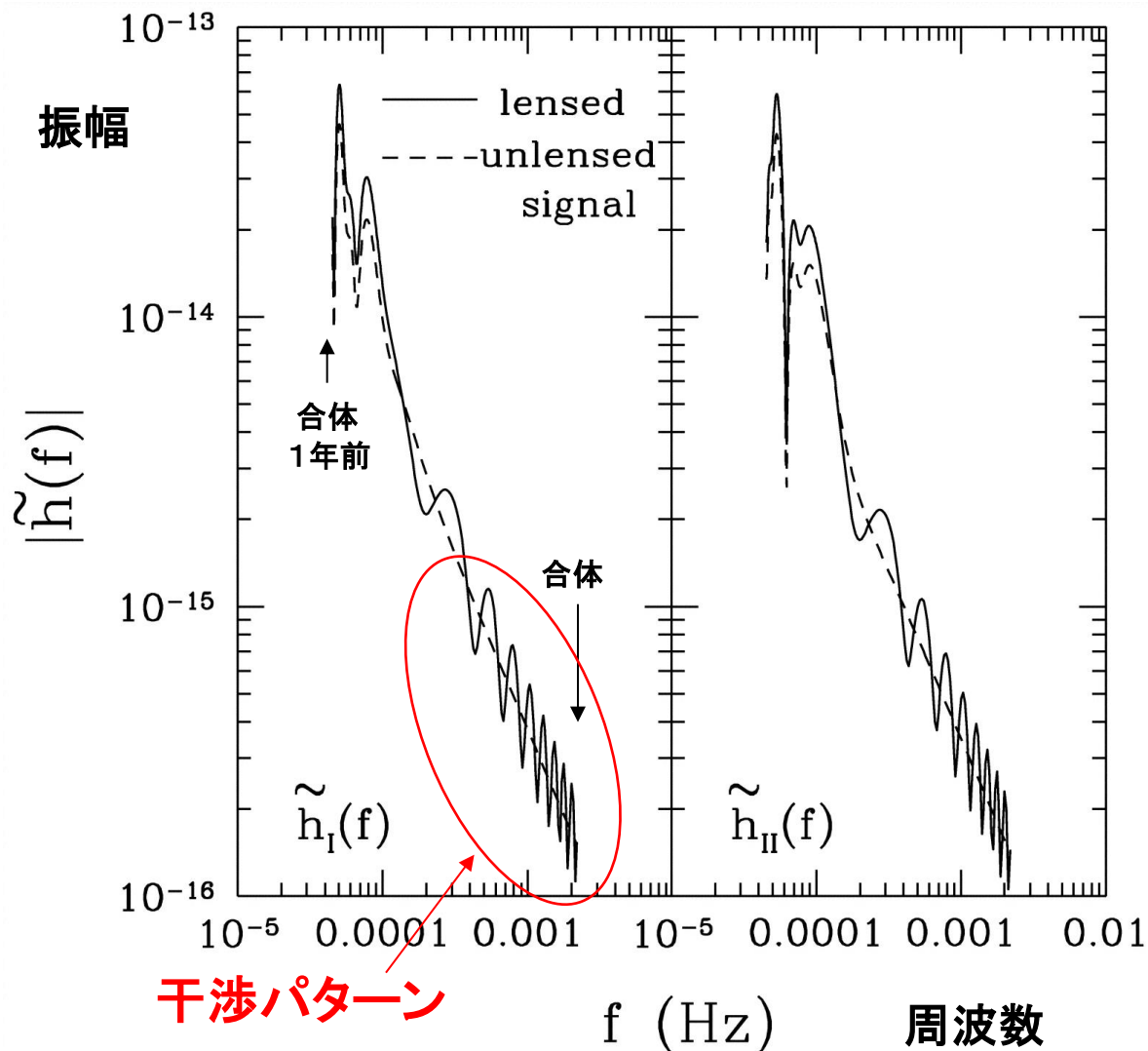
SMBH binary

$10^6 + 10^6 M_{sun}$ at $z = 1$

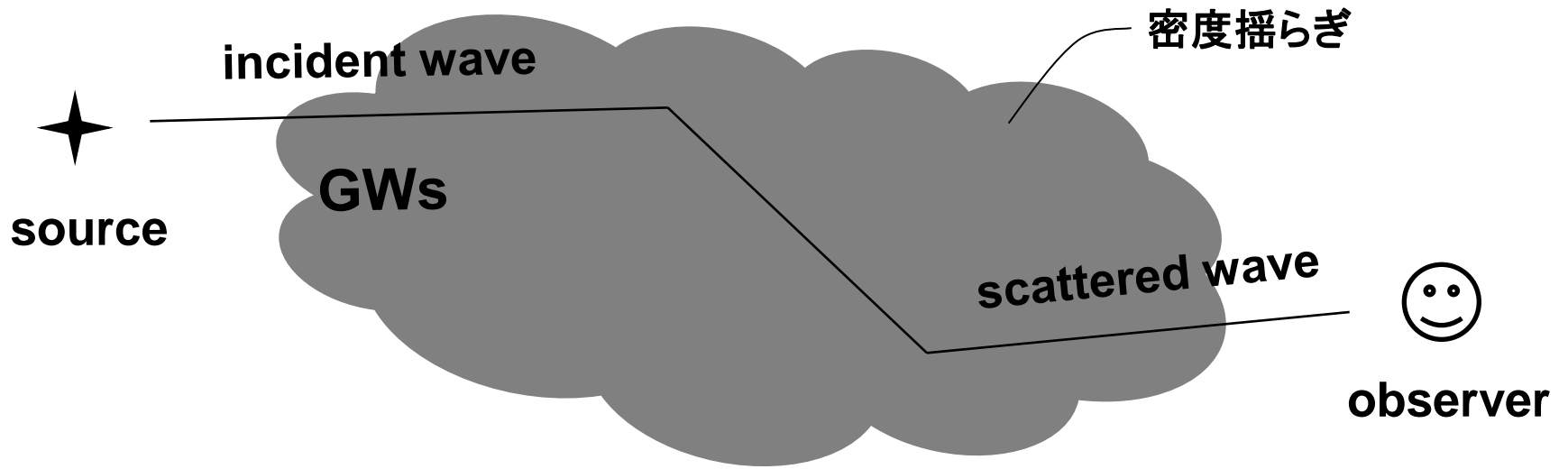
detected by LISA

質点レンズ $10^8 M_{sun}$

(RT & Nakamura 2003)



2.3 密度ゆらぎによる重力レンズでの 波動効果 (Macquart 2004; RT, Suyama & Michikoshi 2005)



密度揺らぎ(ダークマターやバリオン)のある時空を伝播する重力波

密度揺らぎのスケール < Fresnel scale $r_F \approx (\lambda D)^{1/2}$



D : レンズまでの距離

波動効果(回折)がきく

$$r_F \approx 1 \text{ pc} \left(\frac{f}{\text{Hz}} \right)^{-1/2} \left(\frac{D}{\text{Gpc}} \right)^{1/2}$$

Fresnel scale $r_F \approx (\lambda D)^{1/2}$

Einstein 半径 $r_E \approx (MD)^{1/2}$ に $M = \lambda$ の条件をいれたもの

2.4 光(電磁波)の重力レンズとの違い

- ・光学的に厚い領域が見える
- ・重力レンズを受けたかどうかは、time delay で調べる

レーザー干渉計の角度分解能 $\sim 1 \text{ deg}$

↑ 2重像を分解できない

- ・軽いレンズ天体まで確認出来る

(電磁波) $\theta_E \approx (M/D)^{1/2} > \theta_{\text{lim}}$

θ_E : Einstein angle

θ_{lim} : 光での角度分解能

$$M > 10^{11} M_{\text{sun}} \left(\frac{D}{\text{Gpc}} \right) \left(\frac{\theta_{\text{lim}}}{1''} \right)^2 \quad \text{銀河スケール}$$

- ・重力波源は十分コンパクトなので、大きさを考慮しなくていい

目次

0. Abstract

1. Introduction

2. 基礎方程式

3. 最近の研究

4. 議論とまとめ

2. 基礎方程式

● 曲がった時空中での重力波の伝播

- background metric

$$ds^2 = -(1+2U)dt^2 + (1-2U)d\mathbf{r}^2 \equiv g_{\mu\nu}dx^\mu dx^\nu$$

U : gravitational potential


- wave equation for scalar field $\phi(t, \mathbf{r})$

$$\partial_\mu \left(\sqrt{-g} g^{\mu\nu} \partial_\nu \phi \right) = 0$$

波動方程式は重力波でも
スカラー場でも同じ

(Peters 1974)

$\tilde{\phi}(\omega, \mathbf{x})$: フーリエ成分


$$\left(\nabla^2 + \omega^2 \right) \tilde{\phi} = 4\omega^2 U \tilde{\phi}$$

● レンズを受けた重力波の波形

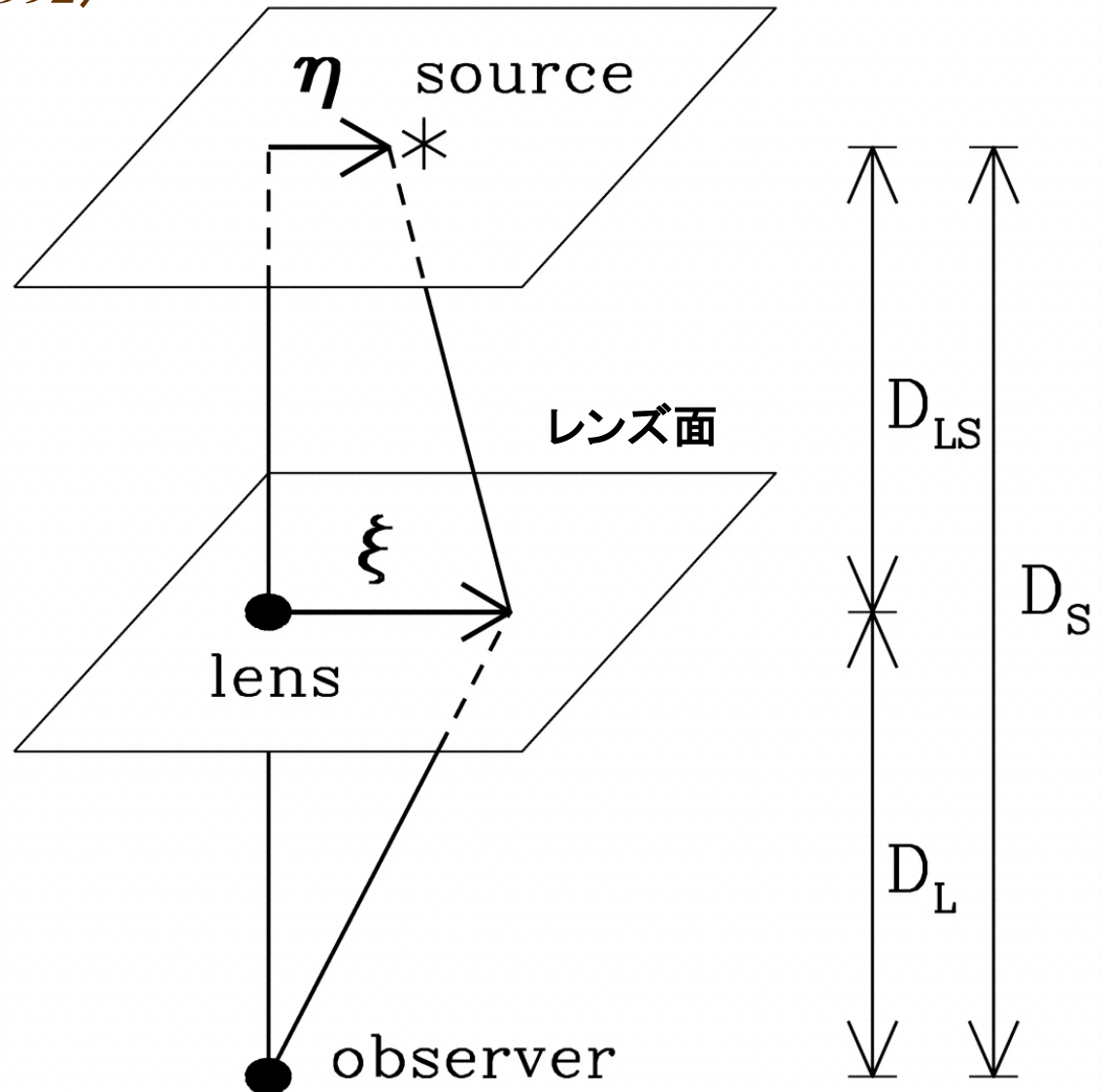
波動方程式 $(\nabla^2 + \omega^2) \tilde{\phi} = 4\omega^2 U \tilde{\phi}$ の解

- 回折積分 with thin lens 近似 (Schneider, Ehlers & Falco 1992)
 - 量子力学のファインマン経路積分 (Nakamura & Deguchi 1999)
- 球対称レンズ (Suyama, RT & Michikoshi 2005)
 - 角度と動径成分の変数分離 \rightarrow 常微分方程式
- 弱い重力ポテンシャル (RT, Suyama & Michikoshi 2005)
 - 重力ポテンシャルの1次摂動 (Born近似)
- 質点レンズの場合 $U = -M/r$
 - 解は超幾何関数で与えられる (Peters 1974; Deguchi & Watson 1986)

● 回折積分

(Schneider, Ehlers & Falco 1992)

源、レンズ、観測者の配置図



thin lens 近似

: レンズ面上のみで $U \neq 0$

他は $U = 0$

重力波はレンズ面上のみ
で散乱される

thin lens 近似の妥当性

(Suyama, RT & Michikoshi 2005)

● Amplification factor (又はTransmission function)

$$F(\omega) \equiv \tilde{\phi}^L(\omega) / \tilde{\phi}(\omega)$$

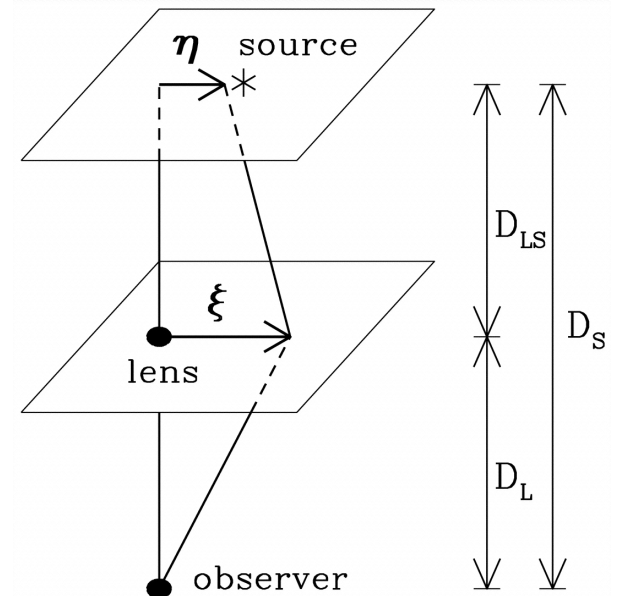
$\tilde{\phi}^L$: レンズを受けた波
 $\tilde{\phi}$: レンズなしの波

$$F(\omega, \boldsymbol{\eta}) = \frac{D_S}{D_L D_{LS}} \frac{\omega}{2\pi i} \int d^2\xi \exp[i\omega t_d(\boldsymbol{\xi}, \boldsymbol{\eta})]$$

time delay

$$t_d(\boldsymbol{\xi}, \boldsymbol{\eta}) = \frac{D_L D_S}{2D_{LS}} \left(\frac{\boldsymbol{\xi}}{D_L} - \frac{\boldsymbol{\eta}}{D_S} \right)^2 - \psi(\boldsymbol{\xi})$$

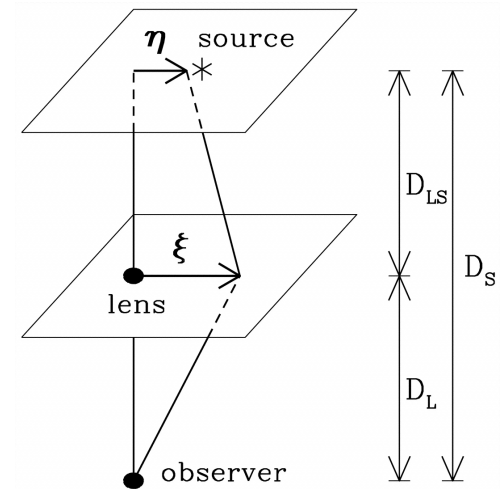
$\psi(\boldsymbol{\xi})$: レンズ面上の2次元重力ポテンシャル



Amplification factor

$$F(\omega, \boldsymbol{\eta}) = \frac{D_S}{D_L D_{LS}} \frac{\omega}{2\pi i} \int d^2\xi \exp[i\omega t_d(\boldsymbol{\xi}, \boldsymbol{\eta})]$$

$$t_d(\boldsymbol{\xi}, \boldsymbol{\eta}) = \frac{D_L D_S}{2D_{LS}} \left(\frac{\boldsymbol{\xi}}{D_L} - \frac{\boldsymbol{\eta}}{D_S} \right)^2 - \psi(\boldsymbol{\xi}) : \text{time delay}$$



● 幾何光学近似 ($\omega \rightarrow \infty$)

t_d の停留点 (stationary point) が積分へ寄与する

$$\partial t_d(\boldsymbol{\xi}, \boldsymbol{\eta}) / \partial \boldsymbol{\xi} = 0 : \text{レンズ方程式}$$

(フェルマーの原理)

➡ 像の位置 $\boldsymbol{\xi}_j$ が決まる

レンズ面上での積分 ➡ それぞれの像の和

$$F(\omega, \boldsymbol{\eta}) = \sum_j |\mu_j|^{1/2} \exp[i\omega t_{d,j}]$$

μ_j : j 番目の像の magnification

$t_{d,j}$: j 番目の像の time delay

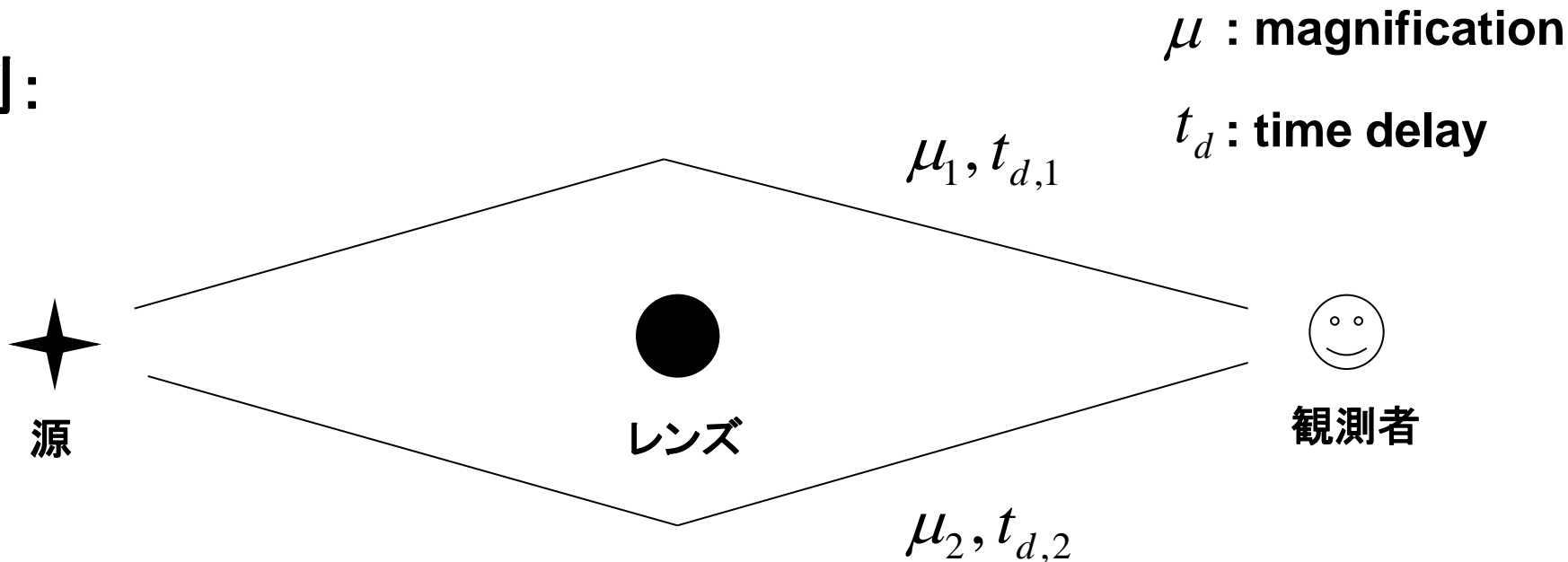
時間空間での波

$$\phi^L(t) = \sum_j |\mu_j|^{1/2} \phi(t - t_{d,j})$$

$\tilde{\phi}^L$: レンズを受けた波

$\tilde{\phi}$: レンズなしの波

例:



μ : magnification

t_d : time delay

Flux は μ 倍
Amplitude は $\mu^{1/2}$ 倍

$$\phi^L(t) = |\mu_1|^{1/2} \phi(t - t_{d,1}) + |\mu_2|^{1/2} \phi(t - t_{d,2})$$

上の経路

下の経路

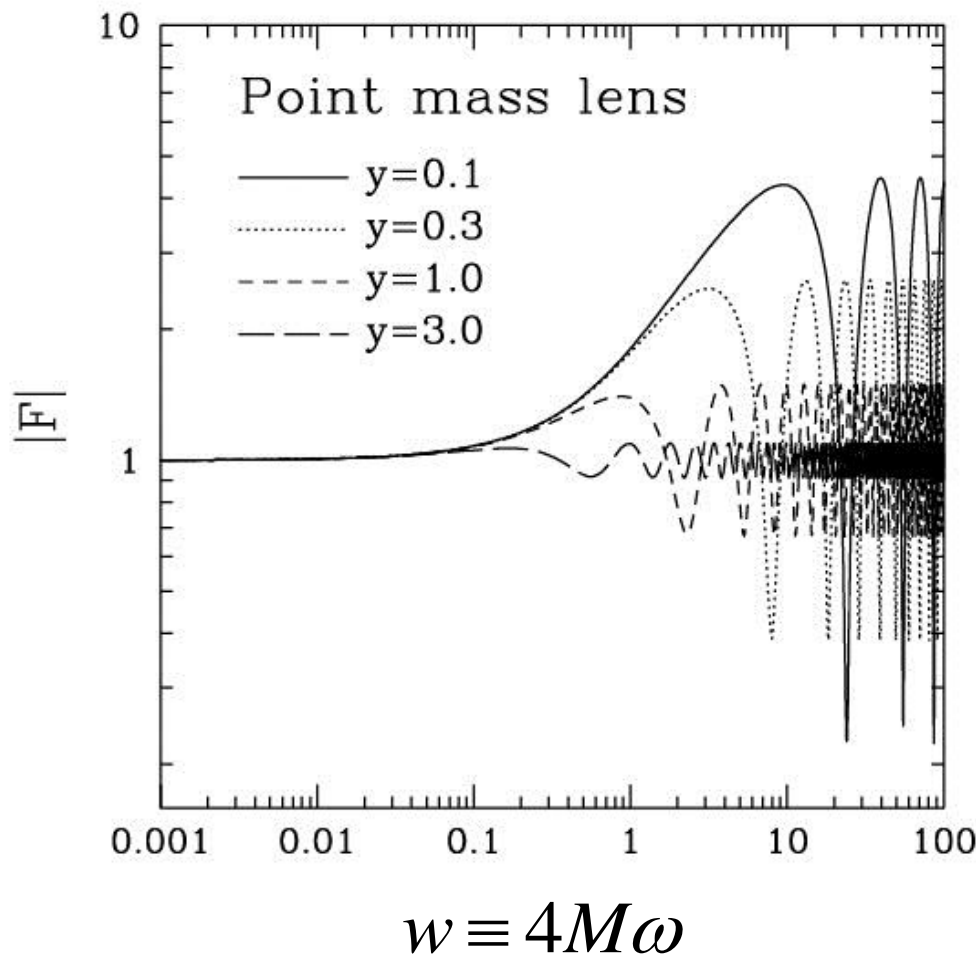
● 質点レンズ $(\Sigma(\xi) = M \delta^2(\xi))$

$w < 1$: 増幅率 (magnification) は十分小さい ← 回折

$w \gg 1$: 幾何光学近似

$$F(\omega) = |\mu_+|^{1/2} - i |\mu_-|^{1/2} e^{i\omega\Delta t_d}$$

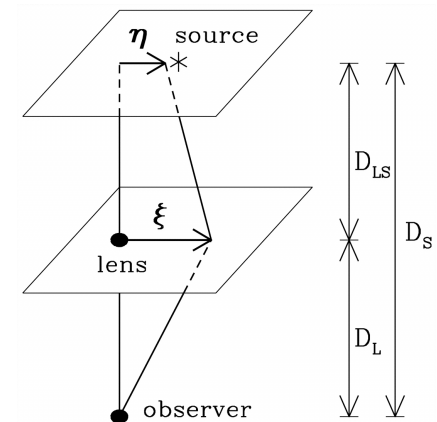
$$|F(\omega)|^2 = |\mu_+| + |\mu_-| + \underbrace{2|\mu_+\mu_-|^{1/2} \sin(\omega\Delta t_d)}_{\text{干渉}}$$



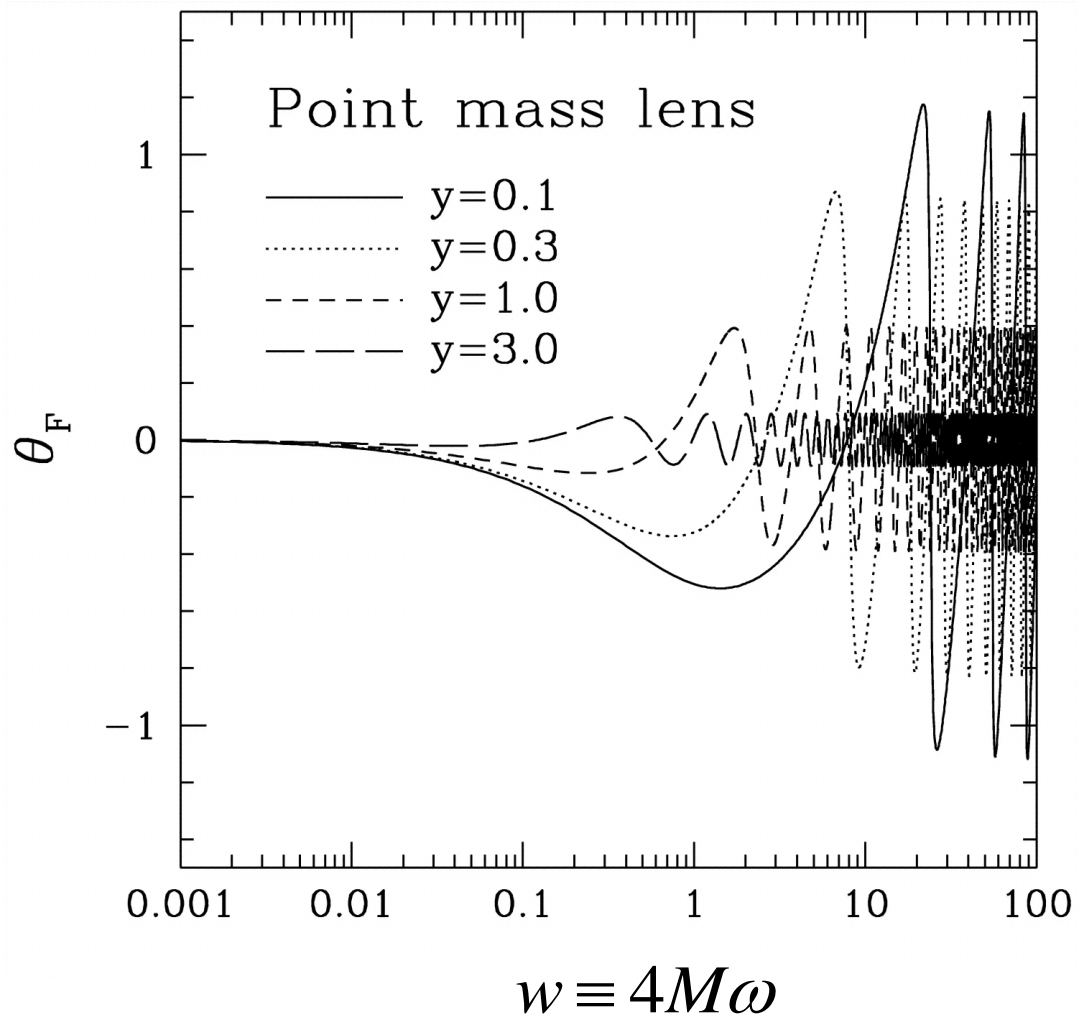
Δt_d : time delay の差

$$y = \eta / \eta_E$$

$$\eta_E = (4MD_{LS}D_S/D_L)^{1/2} : \text{Einstein 半径}$$



F の位相 $\theta_F = -i \ln F/|F|$

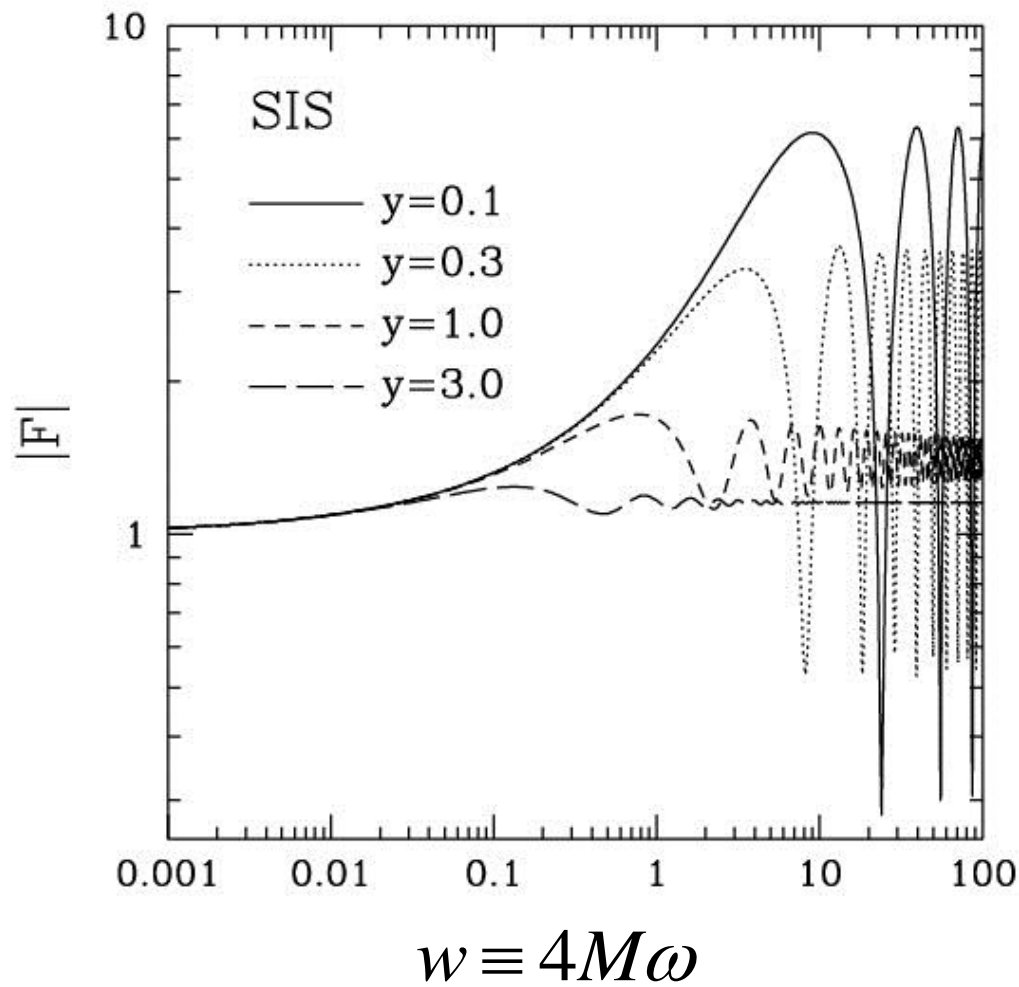


● 等温球型 $(\Sigma(\xi) = v^2/2\xi)$

$w \gg 1$: 幾何光学近似

$$|F(\omega)|^2 = |\mu_+| + |\mu_-| + 2|\mu_+\mu_-|^{1/2} \sin(\omega \Delta t_d) \quad \text{for } y < 1$$

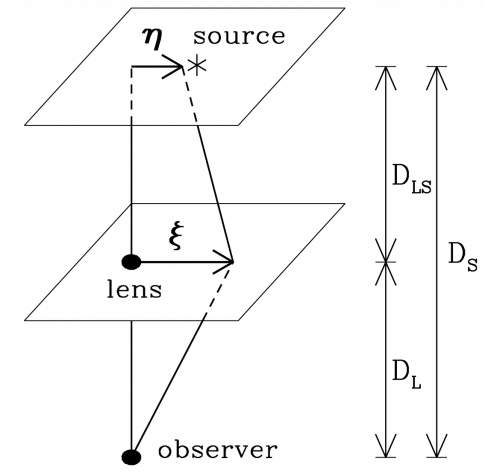
$$= |\mu_+| \quad \text{for } y \geq 1$$



Δt_d : time delay の差

$$y = \eta / \eta_E$$

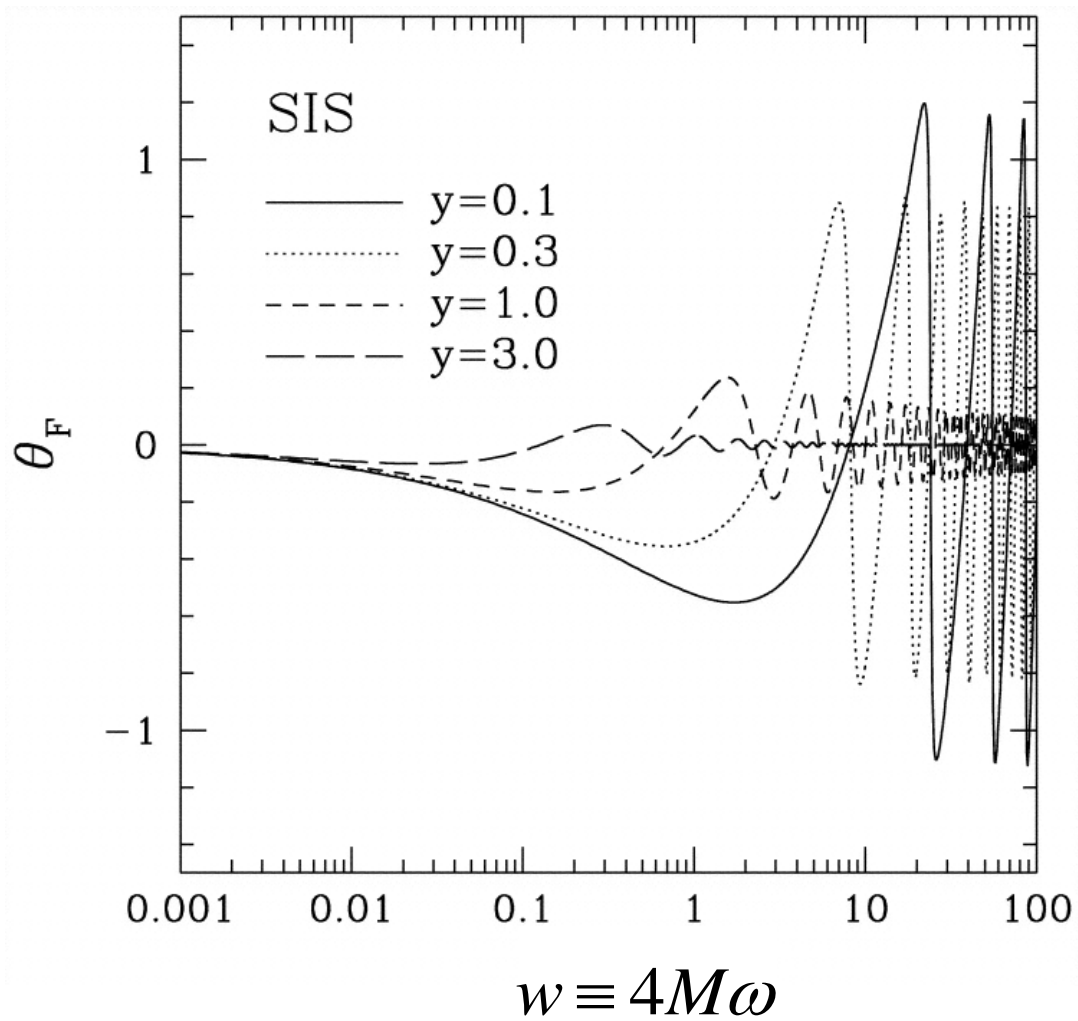
$$\eta_E = 4\pi v^2 D_{LS} : \text{Einstein 半径}$$



$$M \equiv 4\pi^2 v^4 D_L D_{LS} / D_S$$

: Einstein 半径内の質量

F の位相 $\theta_F = -i \ln F/|F|$



目次

0. Abstract

1. Introduction

2. 基礎方程式

3. 最近の研究

4. 議論とまとめ

3. 最近の研究

～主な研究3つ 簡単に紹介する～

3.1 準幾何光学近似 (RT 2004)

- ・ $\lambda \ll M$ 幾何光学近似
- ・ $\lambda < M$ 準幾何光学近似 (波長が十分短くない場合)



幾何光学 $+$ λ / M の1次の摂動
($\lambda \rightarrow 0$)

(回折効果を摂動的に取り入れる)

波動光学と幾何光学の違い

$$\frac{\lambda}{M} \approx \left(\frac{\lambda}{1\text{AU}} \right) \left(\frac{M}{10^8 M_{\text{sun}}} \right)^{-1}$$

Amplification factor F を $1/\omega$ で摂動展開

$$F(\omega, \boldsymbol{\eta}) = \frac{D_S}{D_L D_{LS}} \frac{\omega}{2\pi i} \int d^2\xi \exp[i\omega t_d(\xi, \boldsymbol{\eta})]$$

$$\cong F_{geo}(\omega, \boldsymbol{\eta}) + dF(\omega, \boldsymbol{\eta})$$

$$t_d(\xi, \boldsymbol{\eta}) = \frac{D_L D_S}{2D_{LS}} \left(\frac{\xi}{D_L} - \frac{\boldsymbol{\eta}}{D_S} \right)^2 - \psi(\xi)$$

幾何光学近似

補正項

$O(1/\omega)$

●結果1

像の増幅率 (magnification) と time delay が変わる

$$F(\omega) \cong \sum_j |\mu_j|^{1/2} \left(1 + \frac{i}{\omega} \Delta_j \right) e^{i\omega t_{dj}} + O(\omega^{-2})$$

Δ_j : 実数

$$= \sum_j \left| \mu_j \left[1 + \left(\frac{\Delta_j}{\omega} \right)^2 \right] \right|^{1/2} e^{i\omega t_{dj} + i\delta\varphi_j} + O(\omega^{-2})$$

$\frac{\Delta_j}{\omega} \approx \frac{\lambda}{M}$ のオーダー

$$\delta\varphi_j = \arctan(\Delta_j/\omega)$$

magnification μ が $\mu \left[1 + \left(\Delta_j / \omega \right)^2 \right]$ に変化

time delay が $\delta\varphi_j$ だけずれる

●結果2

レンズ中心の密度分布にカuspがある場合

$$\rho(r) \propto r^{-\alpha} \quad (0 < \alpha \leq 2)$$

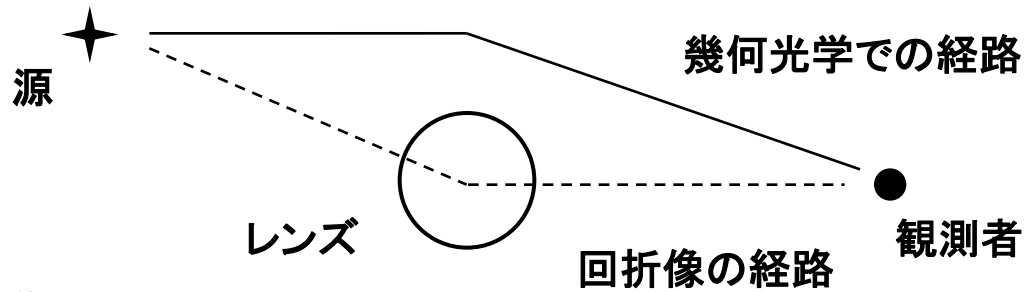


レンズの中心に回折像ができる

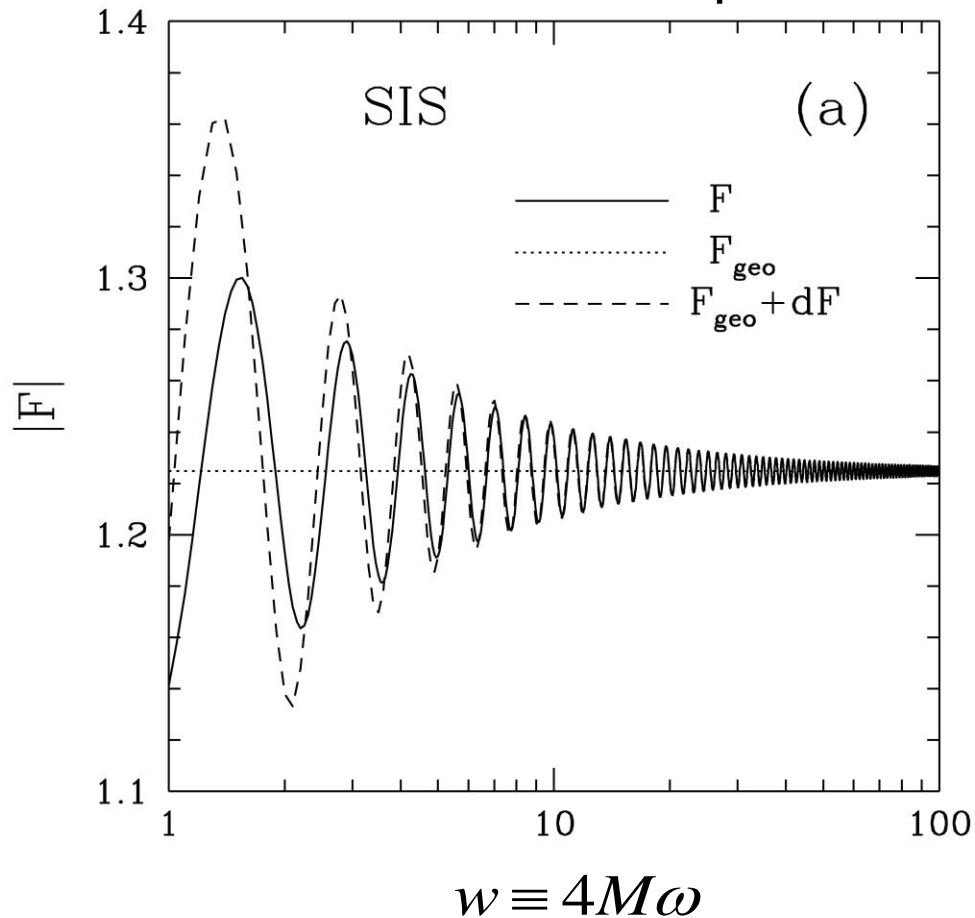
Amplification factor $F(\omega, \eta) = \frac{D_s}{D_L D_{LS}} \frac{\omega}{2\pi i} \int d^2\xi \exp [i\omega t_d(\xi, \eta)]$

- 幾何光学近似の場合: time delay の停留点に像ができる
- 波長が有限だと停留点以外からも積分に寄与する
- レンズ中心のカuspからの寄与がある

例: 等温球型 $\rho(r) \propto r^{-2}$



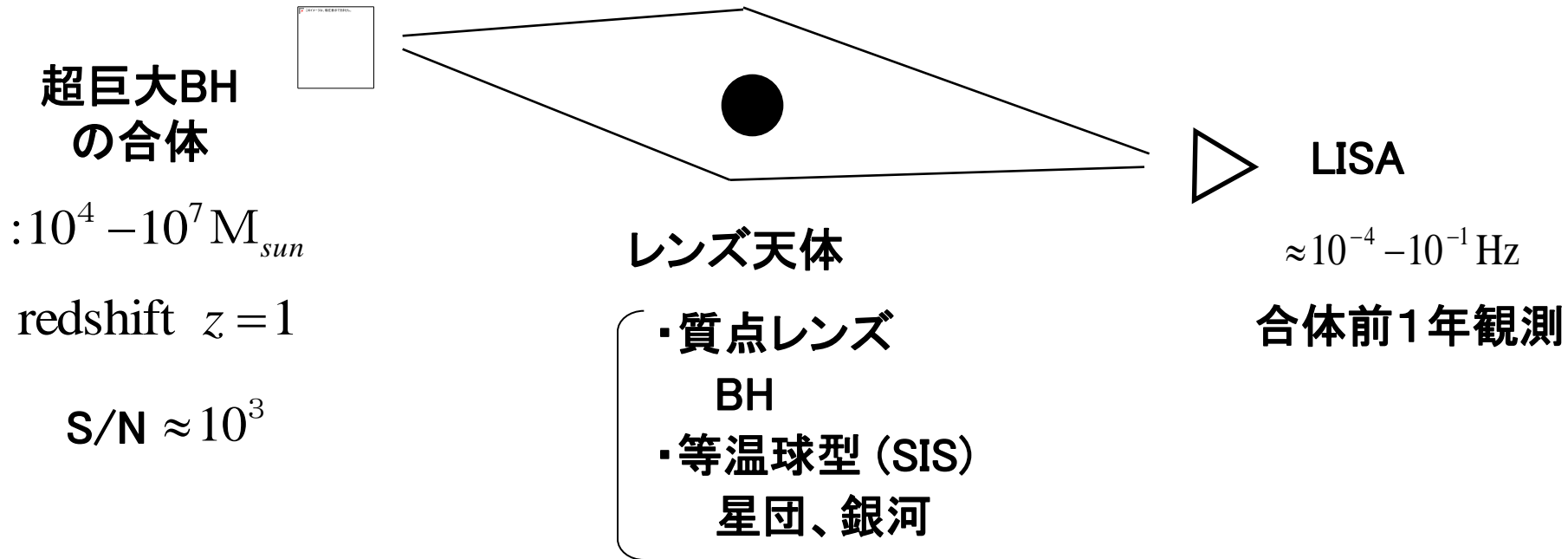
$y = 2$ y : Einstein 半径で規格化した source position



幾何光学 ($|F_{geo}| = |\mu_+|^{1/2}$) では、
像がひとつだが、2つの像による干渉パターンがある

3.2 重力波の波形からレンズ天体の情報を引き出す (RT & Nakamura 2003)

● 問題設定



レンズの質量:

time delay $\Delta t_d \approx 10 - 10^4 \text{ sec} \ll 1 \text{ yr}$

↑ LISAで波動効果が重要になる領域

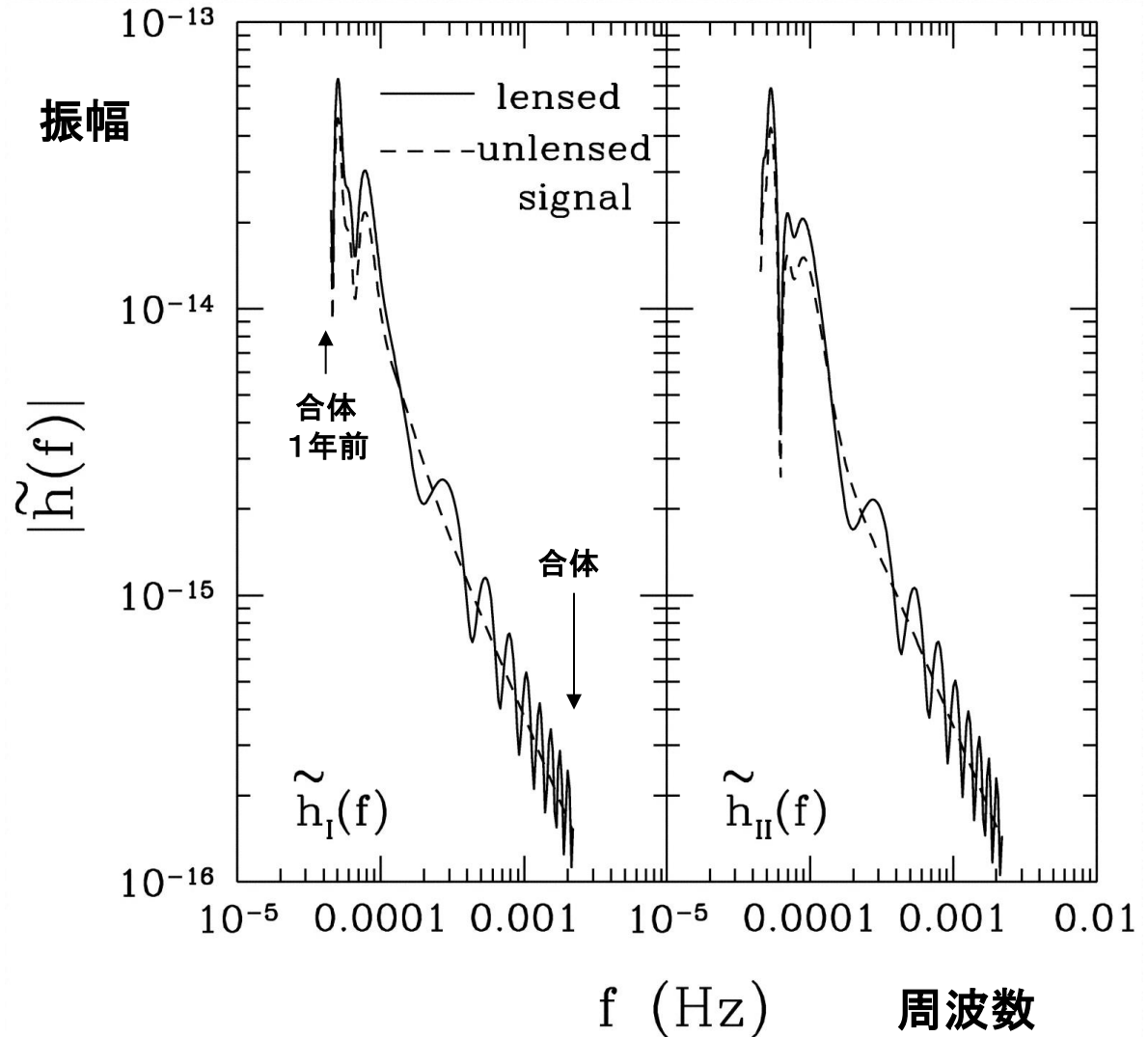
●重力レンズを受けた波形

SMBH binary

$10^6 + 10^6 M_{sun}$ at $z = 1$

detected by LISA

質点レンズ $10^8 M_{sun}$

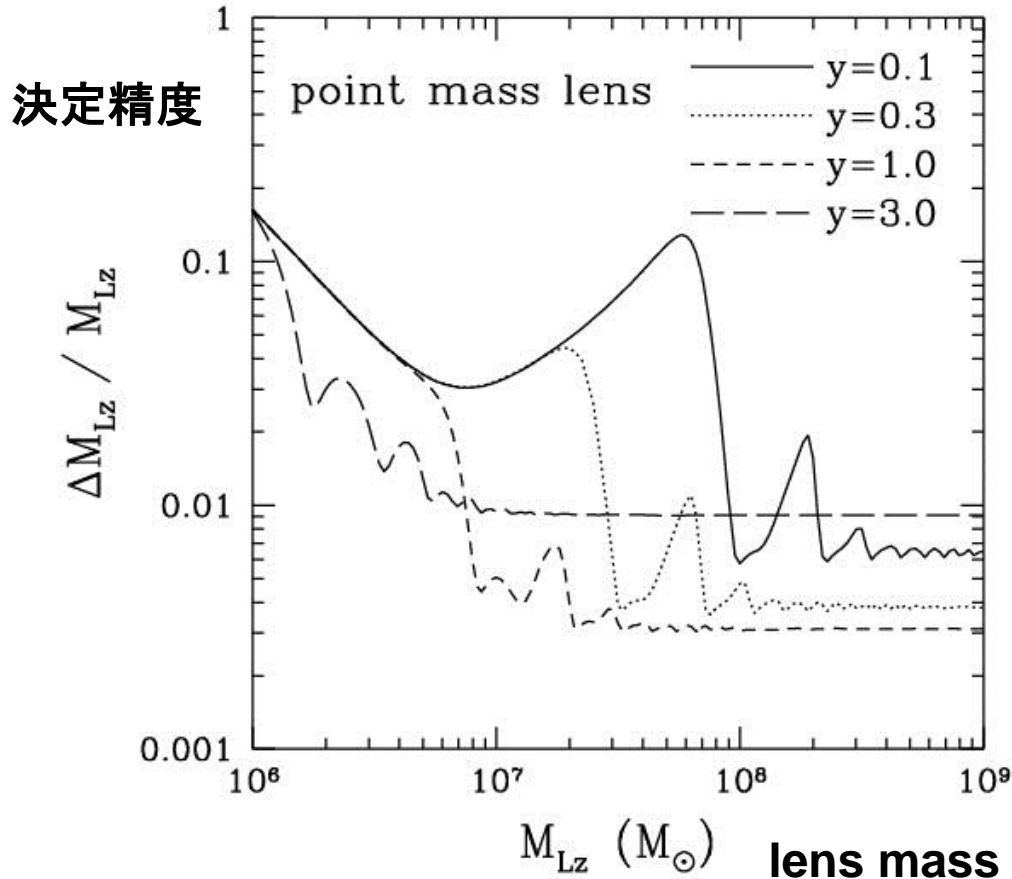


➡ レンズ天体の情報(質量など)を引き出す

●結果1

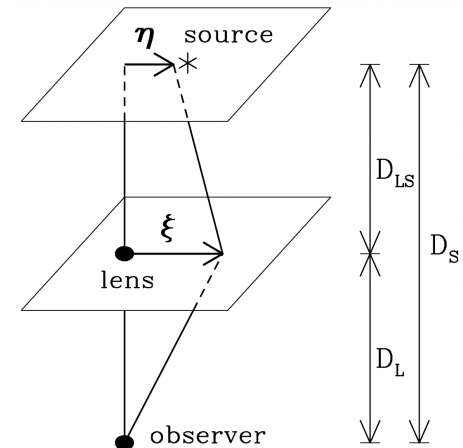
レンズ天体の質量はどのくらいの精度で決まるか

$10^6 + 10^6 M_{sun}$ SMBHs at $z=1$



$$y = \eta / \eta_E$$

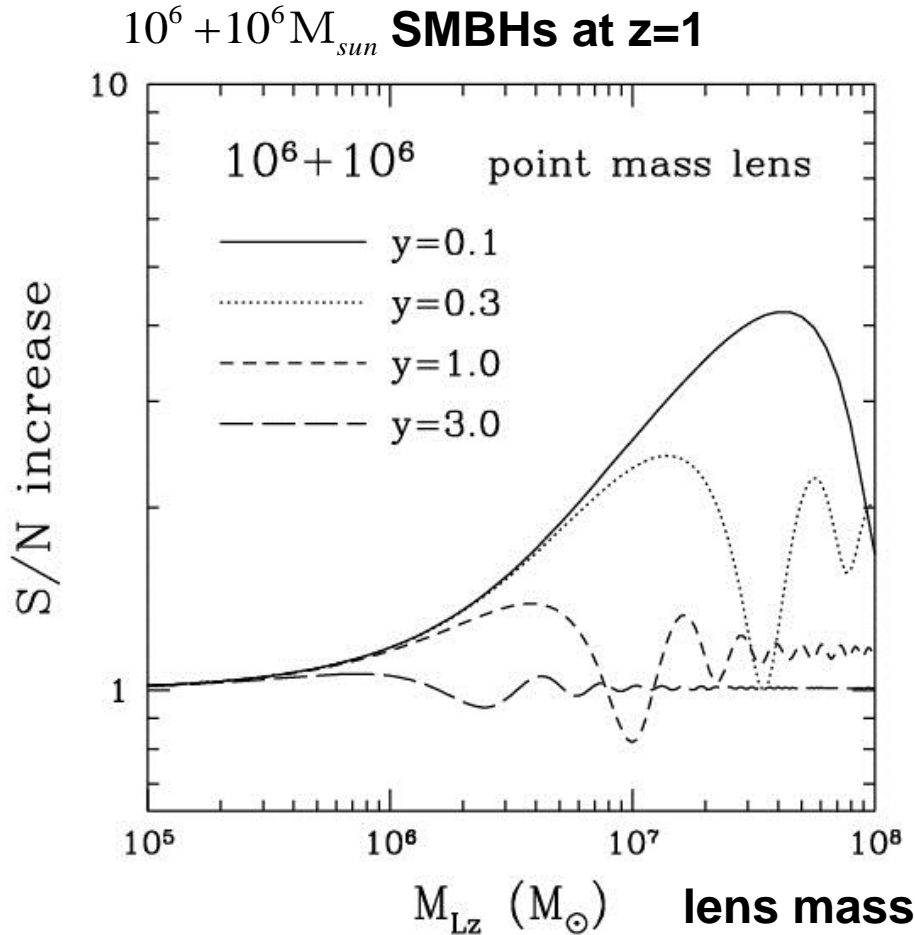
$$\eta_E = (4MD_{LS}D_S/D_L)^{1/2} : \text{Einstein 半径}$$



➡ $10^{7-8} M_{sun}$ より重いレンズ天体では、0.1-1% で質量がわかる

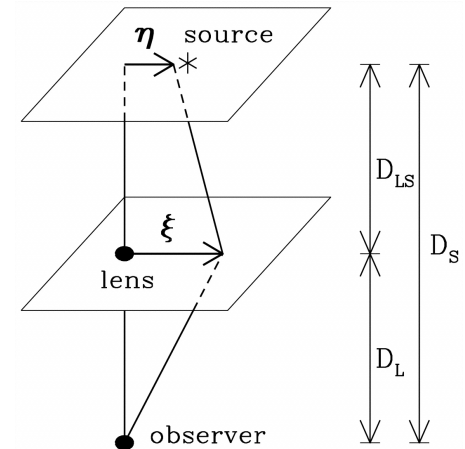
●結果2

重力波シグナルの S/N (signal-to-noise ratio) が何倍増えるか



$$y = \eta / \eta_E$$

$$\eta_E = (4MD_{LS}D_S/D_L)^{1/2} : \text{Einstein 半径}$$

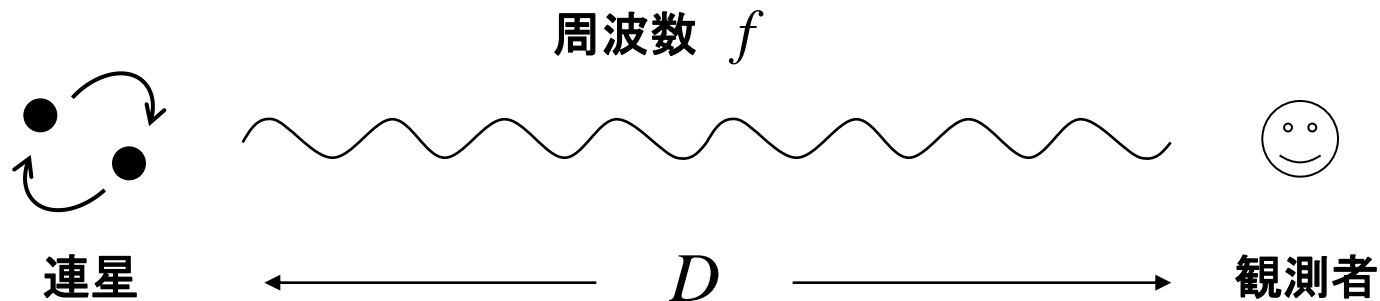


➡ $10^{6-8} M_{sun}$ より軽いレンズ天体では、シグナルは増幅されない

3.3 連星までの距離決定の不定性

● Cosmological standard siren

連星までの距離 D ← チャープシグナル \dot{f} から直接決定



観測される振幅 $A \propto \frac{\dot{f}}{f^3 D}$ f, \dot{f}, A から距離 D が決定

●重力レンズによる距離決定の不定性

(Holz & Hughes 2005; Kocsis et al. 2005)

レンズを受けると、**振幅が増幅・減衰**される

➡ **距離決定に不定性**

振幅 : $A \rightarrow A_{obs} = \mu^{1/2} A$

μ : magnification

距離 : $D \rightarrow D_{obs} = \mu^{-1/2} D$

$$\frac{\Delta D_{obs}}{D_{obs}} = \frac{\Delta D}{D} + \frac{1}{2} \frac{\Delta \mu}{\mu}$$

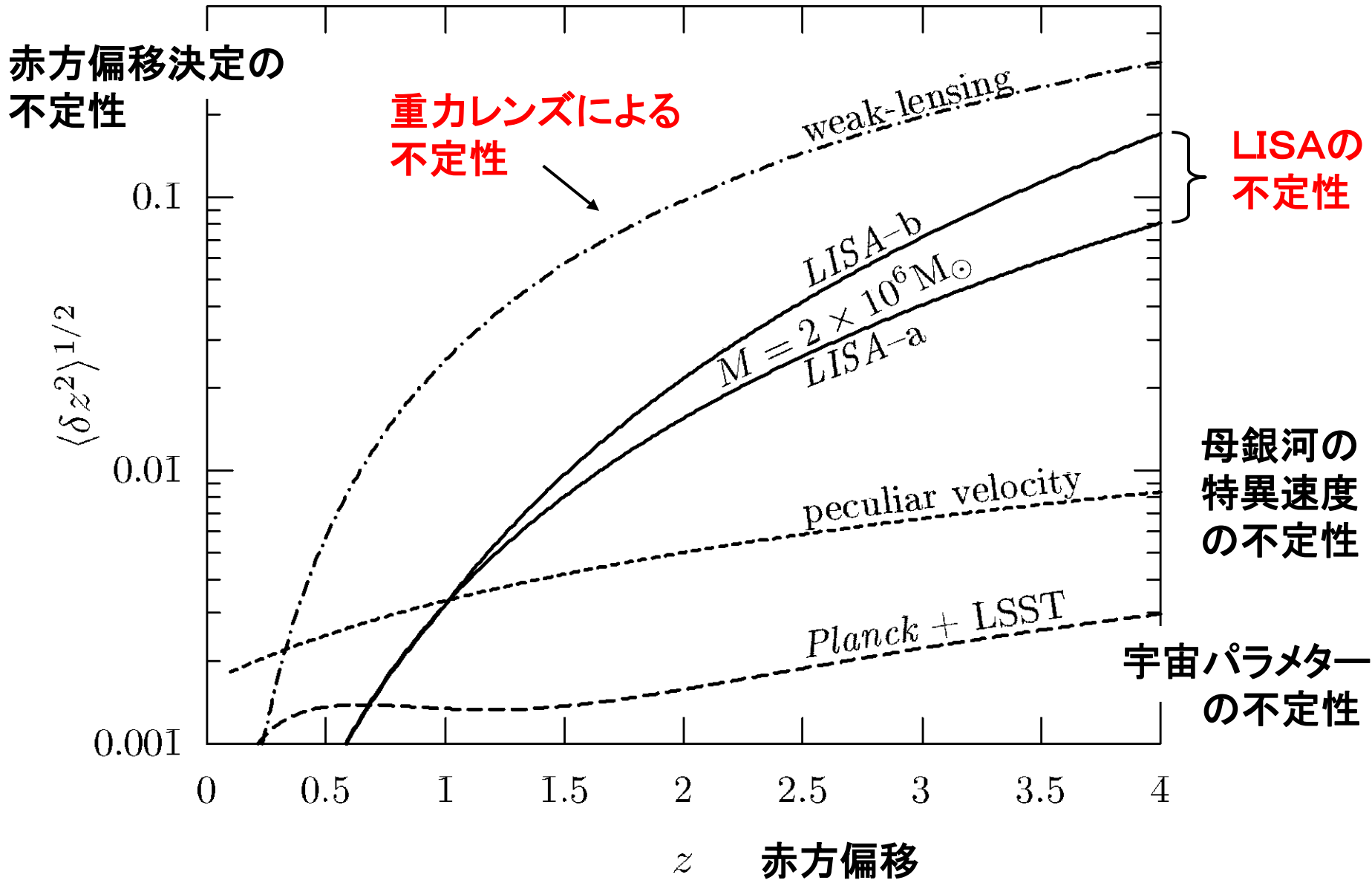
magnification の分散

≒ 数%程度

weak lensing の計算 (Bartelmann & Schneider 2001)

$10^6 + 10^6 M_{sun}$ BH連星の合体

(Kocsis et al. 2005)



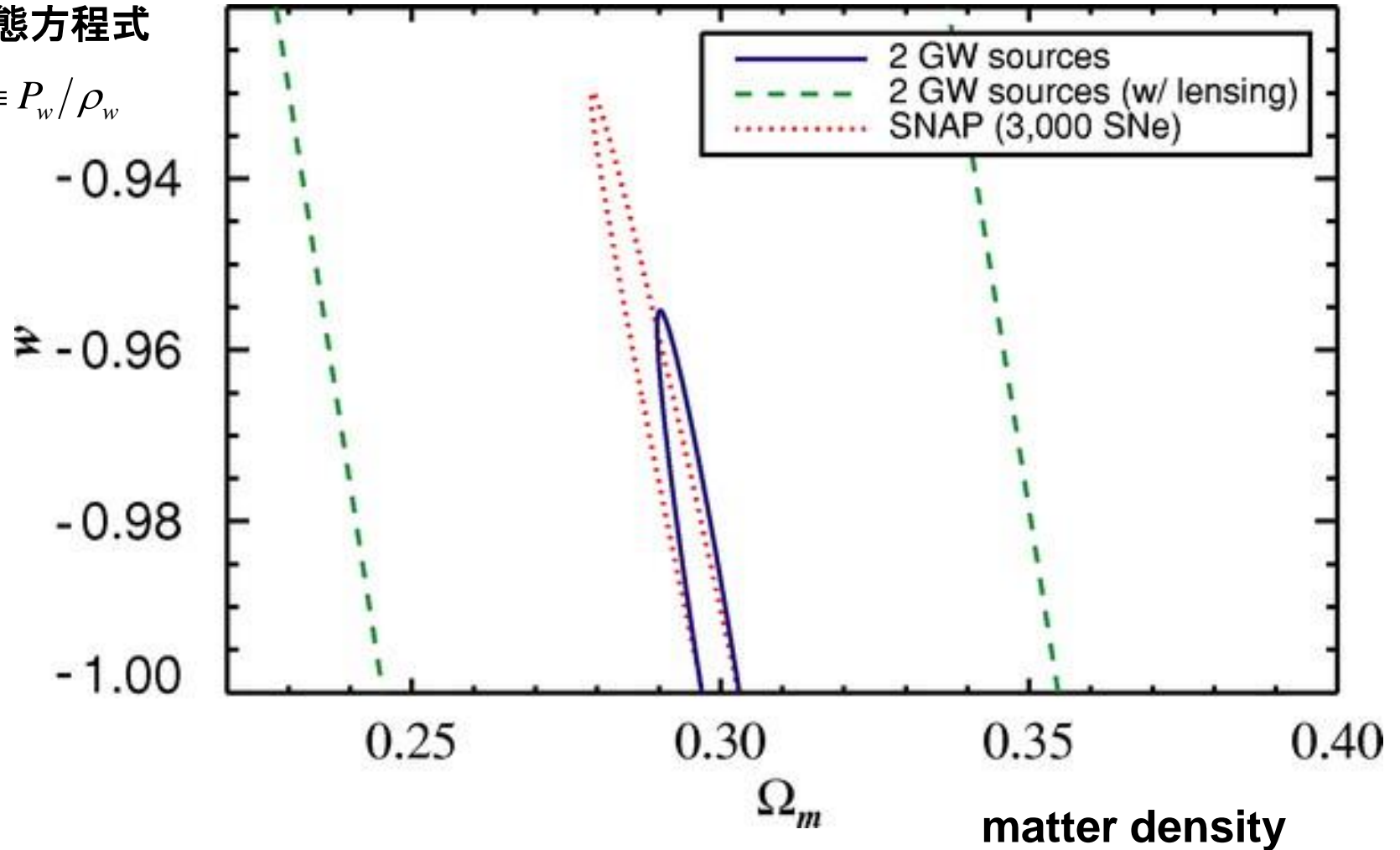
連星の距離-赤方偏移関係を使った宇宙パラメーターの決定精度

(Holz & Hughes 2005)

ダークエネルギー
の状態方程式

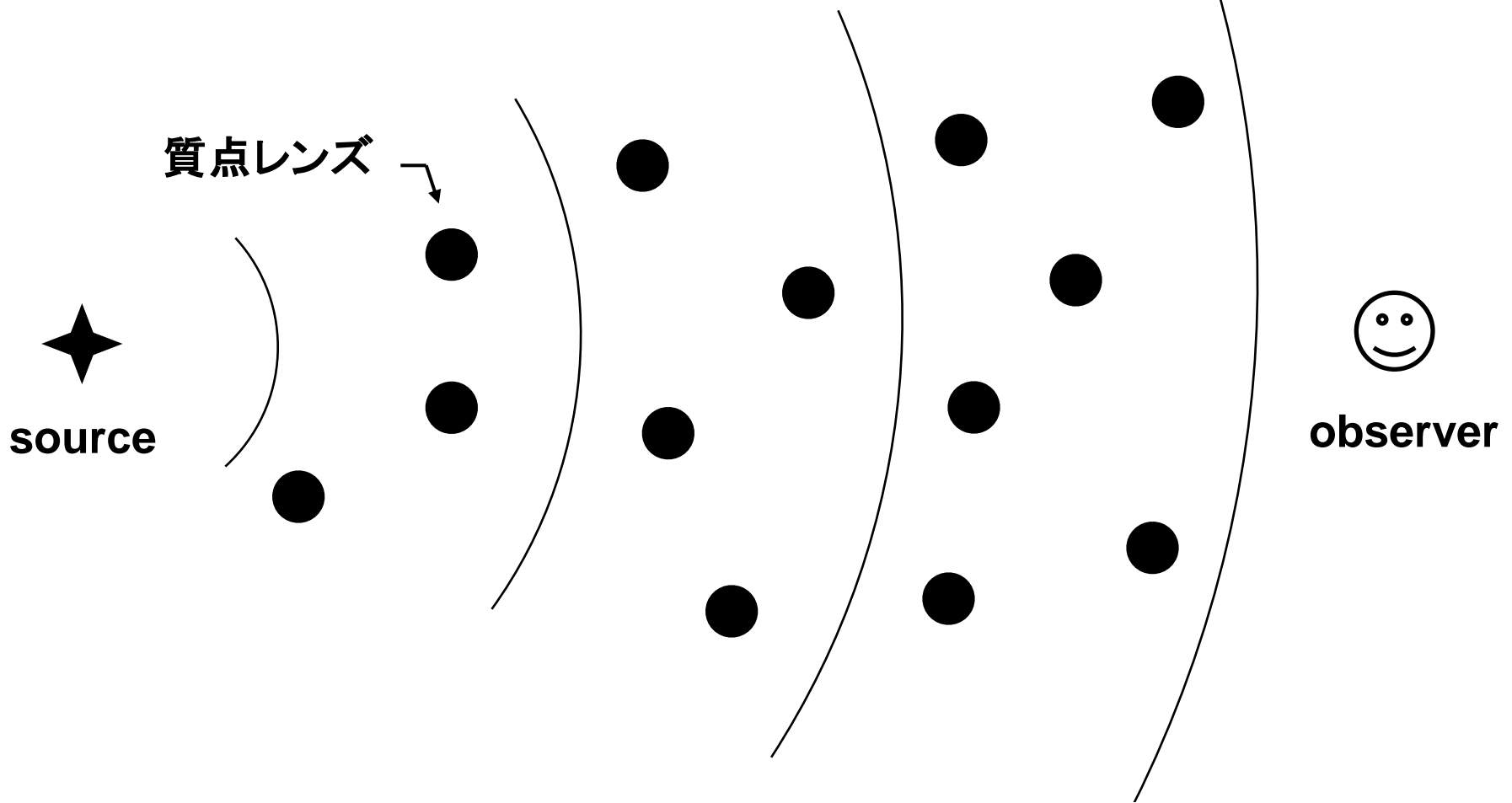
$$w \equiv P_w / \rho_w$$

$10^5 + 6 \times 10^5 M_{sun}$ SMBHs at $z=1$ & 3



● 距離-赤方偏移関係の分散を用いた、 ダークマターの質量への制限

(Yoo, Nakao, Kozaki, RT in preparation)



質点レンズが一様に分布する宇宙

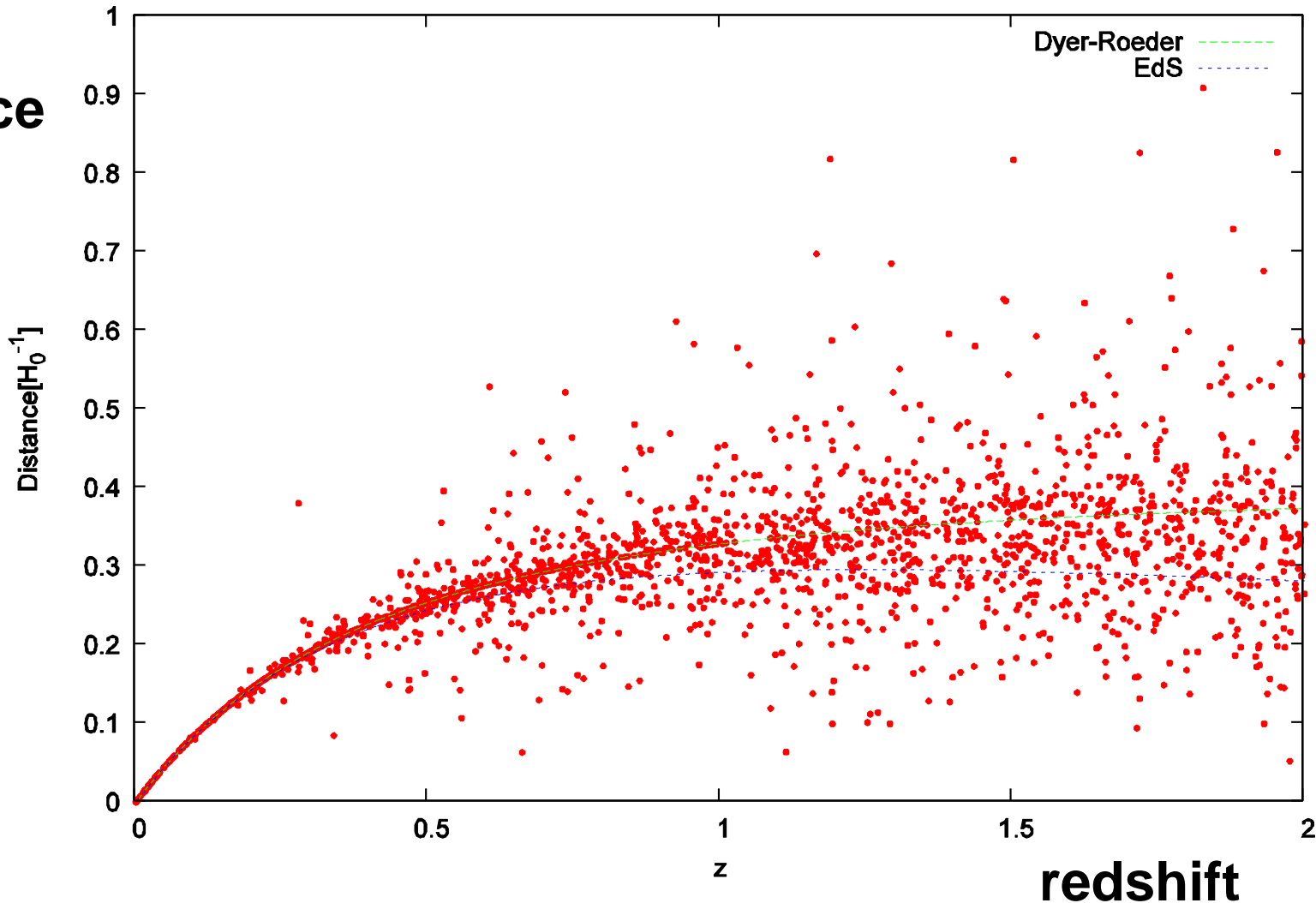
幾何光学近似

$$\lambda \ll M$$

サンプル2000個

$$\Omega_{m0}=1, \Omega_{\Lambda 0}=0$$

distance
(H_0^{-1})



分散 $\sim 20-30\%$

波動光学

$$\lambda \gg M$$

分散からダークマターの
質量に制限

$\lambda = M$ となる質量

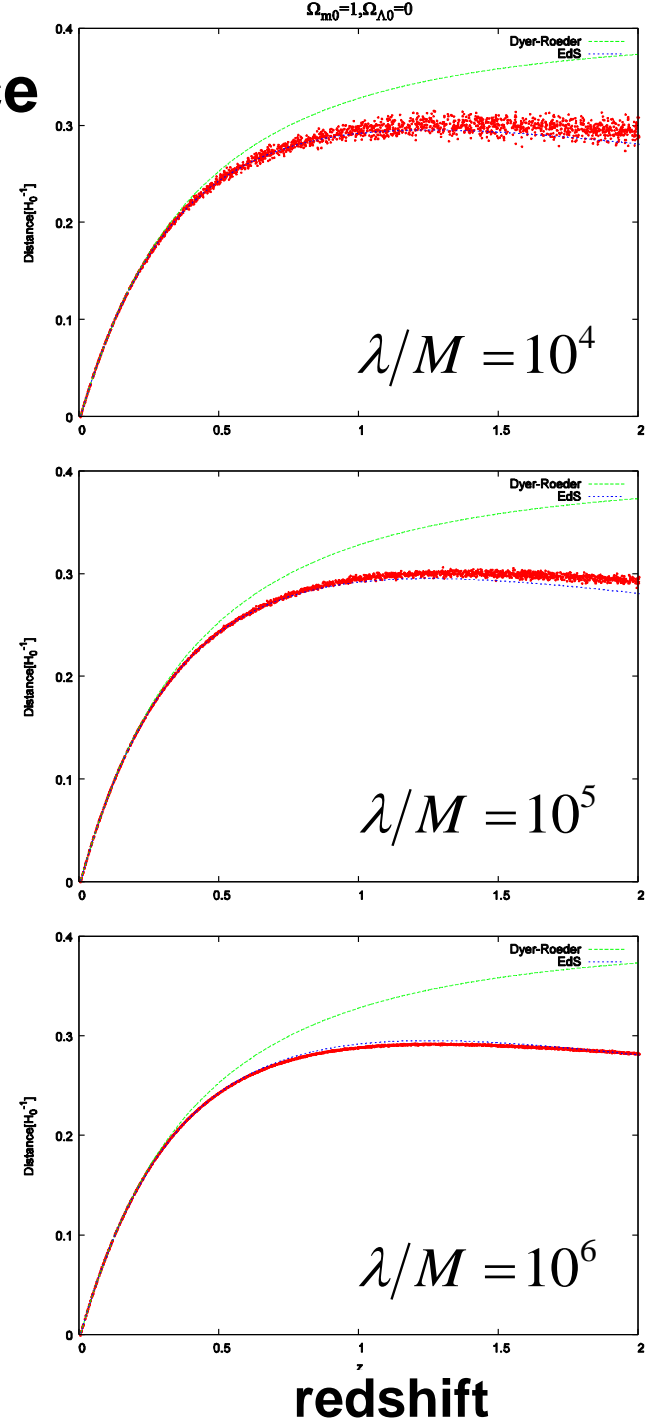
TAMA, LIGO $\approx 10^3 M_{sun}$

DECIGO/BBO $\approx 10^5 M_{sun}$

LISA $\approx 10^8 M_{sun}$

distance
(H_0^{-1})

分散大



目次

0. Abstract

1. Introduction

2. 基礎方程式

3. 最近の研究

4. 議論とまとめ

4.1 議論

● レンズを受けた重力波シグナルの見分け方

- ・ 同じ形の波形が同じ方向から複数来た場合

Time delay だけ遅れてシグナルが到着

- ・ チャープシグナルの振幅に(干渉による)振動パターンがある場合

- ・ 理論的に予想される振幅 A_{th} と観測されたもの A_{obs} とが一致しないとき

$$A_{th} \propto \dot{f} / (f^3 D)$$

$$|\mu|^{1/2} = A_{obs} / A_{th}$$

D : host galaxy までの距離
redshift から決定

●重カレンズを受ける確率

遠方の QSOs が手前の銀河により重カレンズをうけて多重像を作る (strong lensing) 確率 : **0.1-1 %**

銀河より軽いレンズ天体も含めれば確率は上がる

弱い重力ポテンシャルによる散乱 (weak lensing) なら起こる

4.2 まとめ

重力波の重力レンズでの波動効果

回折と干渉効果

- ・回折

重力波の波長 $\lambda >$ レンズ天体のシュワルツシルト半径 M

- ・干渉

重力波がコヒーレントな波